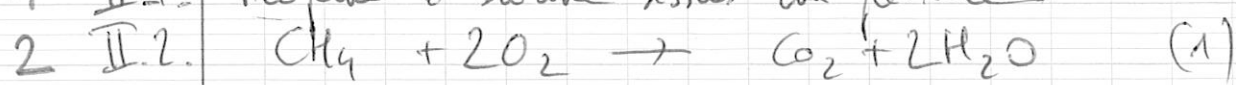


121

ATB 2011

Noter  $\Sigma$  forme

1 II.1. Propane et butane issus du pétrole



2 II.4. Réactio - (2) due à un manque d' $\text{O}_2$  / air -  
monoxyde de carbone toxique.

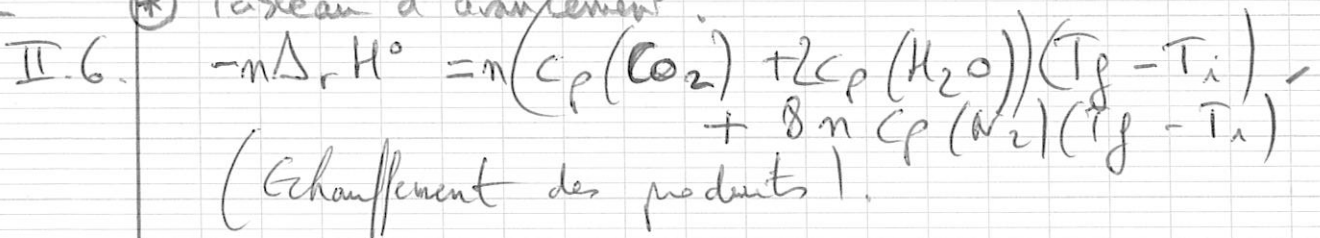
II.5.  $\Delta_r H^\circ (T = 298 \text{ K})$ 

$$= -\Delta_f H^\circ (\text{CH}_4) - 2\Delta_f H^\circ (\text{O}_2) + \Delta_f H^\circ (\text{CO}_2) \\ + 2\Delta_f H^\circ (\text{H}_2\text{O})$$

3  $= +74,85 - 1 \times 393,5 - 2 \times 241,9$   
 $= -802,45 \text{ kJ.mol}^{-1}$

 $\Delta_r H^\circ < 0$  réactio - exothermique -

2 (\*) Tableau d'avancement.



4  $T_f - T_i = \frac{-\Delta H_r H^\circ}{c_p(\text{CO}_2) + 2c_p(\text{H}_2\text{O}) + 8c_p(\text{N}_2)}$

$$T_f = \frac{802,450}{37,1 + 2 \times 33,6 + 8 \times 29,1} + 298 \\ = 2678 \text{ K}$$

1 II.7. Transformation non adiabatique en réalité?

$$\text{II.8. } pV = nRT \quad -$$

$$2 \quad n = \frac{pV}{RT} = \frac{1,013 \cdot 10^5 \times 10^5 \times 1}{8,31 \times 298}$$
$$= 40,9 \text{ mol.} \quad -$$

$$\text{II.9. } PCI = |n \cdot \Delta H_r^\circ| \quad -$$

$$2 \quad = 40,9 \times 802,45 \cdot 10^3$$
$$= 32,8 \underbrace{\text{ MJ} \cdot \text{m}^{-3}}_{\text{ - }} \quad -$$

II.10.  $PCS > PCI$  car condensation de l'eau exothermique.

$$\text{II.11. } PCS = PCI + 2n \Delta_{\text{rap}} H^\circ(\text{H}_2\text{O})$$

$$= 32,8 \cdot 10^6 + 2 \times 40,9 \times 44,10^3$$

$$= 36,4 \text{ MJ} \cdot \text{m}^{-3}$$

$$PCS = \frac{36,4 \cdot 10^6}{3,6 \cdot 10^6} \approx 10 \text{ kWh/m}^3 \quad (1 \text{ kWh} = 3,6 \cdot 10^6 \text{ J})$$

Etude d'un circuit en régime sinusoidal face / 38

$$1. \underline{e}(t) = E_m \cos(\omega t)$$

$$\rightarrow \underline{e}(t) = E_m e^{j\omega t}$$

$$2. \underline{i}(t) = I_m \cos(\omega t + \varphi)$$

$$\rightarrow \underline{i}(t) = I_m e^{j(\omega t + \varphi)}$$

$$3. \underline{Z}_R = R$$

$$\underline{Z}_L = jL\omega$$

$$\underline{Z}_C = \frac{1}{jC\omega}$$

4. Diagramme de tension :

$$\begin{aligned} \frac{\underline{U}_c}{\underline{E}} &= \frac{\underline{Z}_C}{\underline{Z}_C + \underline{Z}_R + \underline{Z}_L} = \frac{\frac{1}{jC\omega}}{\frac{1}{jC\omega} + R + jL\omega} (x j\omega) \\ &= \frac{1}{1 + jRC\omega - LC\omega^2} \end{aligned}$$

Donc :

$$2. \underline{U}_c = \frac{\underline{E}}{1 + jRC\omega - LC\omega^2} = \frac{E_m}{1 + jRC\omega - LC\omega^2}$$

On identifie à :

$$\underline{U}_c = \frac{A}{1 - \left(\frac{\omega}{\omega_0}\right)^2 + j\frac{\omega}{Q\omega_0}}$$

5. 1

$$\begin{cases} A = E_m \\ LC\omega_0^2 = \frac{\omega^2}{\omega_0^2} \Rightarrow \omega_0 = \frac{1}{\sqrt{LC}} \\ jRC\omega = j\frac{\omega}{Q\omega_0} \end{cases}$$

$$\omega_0 = \frac{1}{\sqrt{LC}}$$

1

$$\Rightarrow Q = \frac{1}{\omega_0 RC} = \frac{\sqrt{LC}}{RC} = \frac{1}{R\sqrt{C}}$$

$$4. U_{cm} = |U_c| = \left| \frac{A}{1 - \left(\frac{\omega}{\omega_0}\right)^2 + j \frac{\omega}{Q\omega_0}} \right|$$

$$\textcircled{1} \quad = \frac{A}{\sqrt{\left(1 - \left(\frac{\omega}{\omega_0}\right)^2\right)^2 + \left(\frac{\omega}{Q\omega_0}\right)^2}} -$$

$$1 \quad T. \quad U_{cm} = \frac{A}{\sqrt{(1-x^2)^2 + \left(\frac{x}{Q}\right)^2}} -$$

$U_{cm}$  parve per un maximum. se  
 $(1-x^2)^2 + \left(\frac{x}{Q}\right)^2$  parve per un minimum.

$$\textcircled{2} \quad \text{se } \frac{d}{dx} \left( (1-x^2)^2 + \left(\frac{x}{Q}\right)^2 \right) = 0 -$$

$$\frac{d}{dx} \left( (1-x^2)^2 + \left(\frac{x}{Q}\right)^2 \right) = -4x(1-x^2) + \frac{2x}{Q^2}$$

$$1 \quad = 4x \left( x^2 - 1 + \frac{1}{2Q^2} \right) -$$

$$\frac{d}{dx} = 0$$

$\textcircled{3}$  se  $x=0$  non retenu.

$$x^2 - 1 + \frac{1}{2Q^2} = 0$$

$$1 \quad x = x_R = \sqrt{1 - \frac{1}{2Q^2}} -$$

Il fait:

$$1 - \frac{1}{2Q^2} > 0 -$$

$$1 > \frac{1}{2Q^2}$$

$$1 < 2Q^2 \rightarrow Q > \frac{1}{\sqrt{2}} = Q_{min} -$$

$$1 \quad \omega_R = \omega_0 \sqrt{1 - \frac{1}{Q^2}} < \omega_0 -$$

$$6. \text{ Now } \omega = \omega_0,$$

$$1 \quad V_{cm} = \frac{A}{\sqrt{(1-1)^2 + \left(\frac{1}{Q}\right)^2}} = Q A -$$

$$1 \quad 7. \quad Z = R + j\omega + \frac{1}{jC\omega} -$$

$$1 \quad = R \left( 1 + j \frac{L\omega}{R} + \frac{1}{jRC\omega} \right) -$$

$$1 \quad = R \left( 1 + jQ \left( \frac{\omega}{\omega_0} - \frac{\omega_0}{\omega} \right) \right) -$$

Identification:

$$1 \quad \left\{ \begin{array}{l} R = R_0 \\ \end{array} \right. -$$

$$\left\{ \begin{array}{l} j \frac{L\omega}{R} = jQ \frac{\omega}{\omega_0} \rightarrow \frac{L}{R} = \frac{Q}{\omega_0} \end{array} \right. \quad (1)$$

$$\left\{ \begin{array}{l} -jQ \frac{\omega_0}{\omega} = \frac{1}{jRC\omega} = -\frac{1}{jRC\omega} \rightarrow \frac{1}{RC} = Q\omega_0 \end{array} \right. \quad (2)$$

$$(1) \times (2): \frac{L}{R^2 C} = Q^2 \rightarrow Q = \frac{1}{R} \sqrt{\frac{L}{C}} \quad (\text{verified}).$$

$$1 \quad \frac{(2)}{(1)}: \frac{\frac{1}{RC}}{\frac{L}{R}} = \frac{1}{LC} = \omega_0^2 \rightarrow \omega_0 = \frac{1}{\sqrt{LC}} \quad (\text{verified}).$$

$$⑧. \quad I = \frac{E}{Z} = \frac{E_m}{Z} = \frac{E_m}{R_0 \left( 1 + jQ \left( \frac{\omega}{\omega_0} - \frac{\omega_0}{\omega} \right) \right)} -$$

$$9. \quad I_m = |I| = \frac{E_m}{R_0 \sqrt{1 + Q^2 \left( \frac{\omega}{\omega_0} - \frac{\omega_0}{\omega} \right)^2}} \quad (\div R_0)$$

$$= \frac{\frac{E_m}{R_0}}{\sqrt{1 + Q^2 \left( \frac{\omega}{\omega_0} - \frac{\omega_0}{\omega} \right)^2}} \quad (\div R_0)$$

$$\left| \begin{array}{l} A = \frac{E_m}{R_0} \\ B = Q \end{array} \right. -$$

⑨

1 10.  $I_m$  passe par un maximum si -

$$\frac{\omega}{\omega_0} - \frac{\omega_0}{\omega} = 0$$

③ | 1

$$\underline{\omega = \omega_0 = \omega'}$$

1  $I_m(\omega') = I_m(\omega_0) = \frac{E_m}{R}$  -

④ 1 11. Courbe (1):  $U_{cm}$  car  $U_{cm} \rightarrow A \neq 0$  -

1 1 Courbe (2):  $I_m$  car  $I_m \rightarrow 0$  -

1 12.  $E_m = A = U_{cm}(0) = 5V$  -

1  $f_0 = 1,6 \text{ kHz}$  - (Fréquence de résonance de l'antenne)

1  $Q = \frac{U_{cm}(f_0)}{E_m} = \frac{9}{5} = 1,8$  -

18/ DS 4 2 février Problème 3

① Q1.  $\frac{\partial p}{\partial z} = -\rho g$  -

1 Q2.  $\rho = \frac{m}{V}$  avec  $pV = nRT_0$  -  
 $V = \frac{nRT_0}{P}$

②  $\rho = \frac{M_p}{nRT_0}$

1 Q1  $\rho = \frac{M_p}{RT_0}$  -

Q3.  $\frac{\partial p}{\partial z} = -\frac{M_p}{RT_0} g$

1  $\int \frac{dp}{p} = \int -\frac{M_p g}{RT_0} dz$  -

$[\ln p]_{p_0}^p = -\frac{M_p g}{RT_0} [z]_0^z$

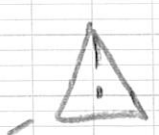
$\ln p - \ln p_0 = -\frac{M_p g}{RT_0} z$

$\ln \frac{p}{p_0} = -\frac{M_p g}{RT_0} z$

$\frac{p}{p_0} = \exp\left(-\frac{M_p g z}{RT_0}\right) = \exp\left(-\frac{z}{H}\right)$

avec  $H = \frac{RT_0}{M_p g}$  -

1  $P = P_0 \exp\left(-\frac{z}{H}\right)$  -

① Q4.  $H = \frac{10 \times 300}{30 \cdot 10^{-3} \times 10} = \frac{3000}{300 \cdot 10^{-3}} = 10 \cdot 10^3 = 10 \text{ km}$  - 

① Q5.  $z = H \Rightarrow p = P_0 \exp(-1) = 0,37 \cdot 10^5 \text{ Pa}$

① Q6.  $\propto \text{en } m^{-1}$  -

$$Q7 \quad T(z) = T_0(1 - \alpha z)$$

①

$$\rho = \frac{Mg}{RT_0(1 - \alpha z)}$$

$$\frac{dp}{dz} = -\frac{Mg}{RT_0(1 - \alpha z)}$$

Q8

$$\frac{dp}{P} = -\frac{Mg}{RT_0} \frac{1}{1 - \alpha z} dz$$

1

$$\int_{P_0}^P \frac{dp}{P} = \int_{z=0}^z -\frac{Mg}{RT_0} \frac{1}{1 - \alpha z} dz$$

$$\left[ \ln \frac{P}{P_0} \right]_{P_0}^P = + \frac{Mg}{\alpha RT_0} \left[ \ln (1 - \alpha z) \right]_0^z$$

① ③

$$Q9 \quad \beta = \frac{Mg}{\alpha RT_0}$$

$$= \frac{30 \cdot 10^{-3} \times 10}{0,025 \times 10 \times 300}$$

$$= 4 \cdot 10^{-3} \text{ 1}$$

1

$$\ln \frac{P}{P_0} = \frac{Mg}{\alpha RT_0} \ln (1 - \alpha z)$$

$$\ln \frac{P}{P_0} = \ln (1 - \alpha z)^{\frac{Mg}{\alpha RT_0}}$$

$$\frac{P}{P_0} = (1 - \alpha z)^{\frac{Mg}{\alpha RT_0}} \rightarrow \beta$$

$$P = P_0 (1 - \alpha z) \quad (2)$$

①

Q10 DL due à 1, expression (2)

$$P \cong P_0 \left( 1 - \alpha \frac{Mg}{\alpha RT_0} z \right) = P_0 \left( 1 - \frac{Mg}{RT_0} z \right)$$

②

DL due à 1, expression (1)

$$P \cong P_0 \left( 1 - \frac{z}{H} \right) = P_0 \left( 1 - \frac{Mg}{RT_0} z \right)$$

⚠

Q11. T linéaire décroissant en fonction de z  
⇒ modèle non isotherme.

③

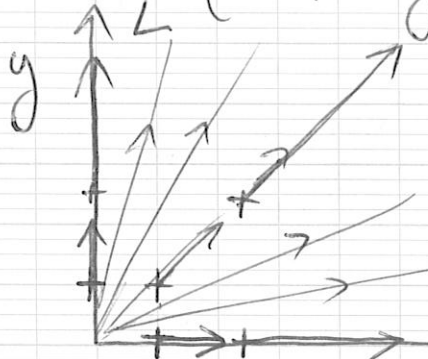
P fonction exponentielle de T mais

linéaire pour P proche de 1 bar

⇒ P fonction linéaire de T donc de z (DL) 1/4

## Reparamétrisation des fluides

$$1. \vec{V} = \frac{V_0}{L} (x \vec{u}_x + y \vec{u}_y)$$



longeur de la voûte.

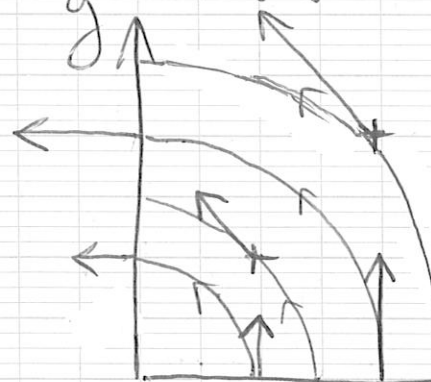
$$\operatorname{div} \vec{v} = \vec{\nabla} \cdot \vec{v} = \frac{V_0}{L} \begin{pmatrix} \frac{\partial}{\partial x} \\ \frac{\partial}{\partial y} \\ \frac{\partial}{\partial z} \end{pmatrix} \cdot \begin{pmatrix} x \\ y \\ 0 \end{pmatrix} = 2 \frac{V_0}{L}$$

$$\operatorname{rot} \vec{v} = \vec{\nabla} \times \vec{v} = \frac{V_0}{L} \begin{pmatrix} \frac{\partial}{\partial x} \\ \frac{\partial}{\partial y} \\ \frac{\partial}{\partial z} \end{pmatrix} \times \begin{pmatrix} x \\ y \\ 0 \end{pmatrix} = \frac{V_0}{L} \begin{pmatrix} 0 \\ 0 \\ 0 \end{pmatrix} = 0$$

Flottement divergent  $\Rightarrow$  Compressible

Flottement non rotatif  $\Rightarrow$  non tourbillonnaire

$$2. \vec{V} = \frac{V_0}{L} \cdot (-y \vec{u}_x + x \vec{u}_y)$$



Champ de vitesse à flux conservatif

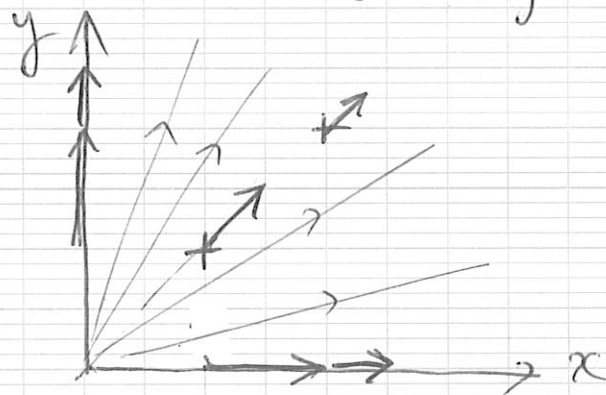
$$\operatorname{div} \vec{v} = \vec{\nabla} \cdot \vec{v} = \frac{V_0}{L} \begin{pmatrix} \frac{\partial}{\partial x} \\ \frac{\partial}{\partial y} \\ \frac{\partial}{\partial z} \end{pmatrix} \cdot \begin{pmatrix} -y \\ x \\ 0 \end{pmatrix} = 0$$

$$2 \quad \vec{rot} \vec{v} = \vec{\nabla} \cdot \vec{v} = \frac{V_0}{L} \begin{pmatrix} \frac{\partial}{\partial x} \\ \frac{\partial}{\partial y} \\ \frac{\partial}{\partial z} \end{pmatrix} \wedge \begin{pmatrix} -y \\ x \\ 0 \end{pmatrix}$$

$$= \frac{V_0}{L} \begin{pmatrix} 0 \\ 0 \\ 1+1 \end{pmatrix} = \frac{2V_0}{L} \vec{i}_z$$

- 1 Ecoulement non divergent  $\Rightarrow$  incompressible  
 1 Ecoulement rotatif  $\Rightarrow$  tourbillonnaise

$$3. \quad \vec{v} = V_0 \cdot L \cdot \left( \frac{x \vec{i}_x + y \vec{i}_y}{x^2 + y^2} \right)$$



$$\operatorname{div} \vec{v} = V_0 L \begin{pmatrix} \frac{\partial}{\partial x} \\ \frac{\partial}{\partial y} \\ \frac{\partial}{\partial z} \end{pmatrix} \cdot \begin{pmatrix} x \\ y \\ 0 \end{pmatrix} = \left[ \frac{\partial}{\partial x} \left( \frac{x}{x^2 + y^2} \right) + \frac{\partial}{\partial y} \left( \frac{y}{x^2 + y^2} \right) \right] V_0 L$$

$$\frac{d(V)}{V} = \frac{u'x - ux'}{V^2}$$

Champ de vitesses  
à flux constantif

$$= V_0 L \left[ \frac{x^2 + y^2 - 2x^2}{(x^2 + y^2)^2} + \frac{y^2 + x^2 - 2y^2}{(x^2 + y^2)^2} \right]$$

$$= 0 \quad \left( \frac{\partial}{\partial x} \right) \left( \frac{x}{x^2 + y^2} \right) \wedge \left( \frac{y}{x^2 + y^2} \right)$$

$$\vec{rot} \vec{v} = V_0 L \begin{pmatrix} \frac{\partial}{\partial y} \\ \frac{\partial}{\partial z} \\ \frac{\partial}{\partial x} \end{pmatrix} \wedge \begin{pmatrix} x \\ y \\ 0 \end{pmatrix}$$

19/

### Problème 3 (extrait ATS 2018)

29)  $V_1 = 20 \times 2,5 = 50 \text{ m}^3$

D'où le débit  $10 \times 50 = 500 \text{ m}^3/\text{h}$  -

(1)

30) Installation - 1) inacceptable car aspiration des gaz brûlés du poêle par la hotte donc traverse de la pièce par des gaz brûlés

(1)

31) Coulement stationnaire et incompressible ( $\rho = \text{cte}$ )

Justif,

$$\Rightarrow D_{\text{v}} = \text{cte}$$

$$= v_B S_B = v_C S_C$$



(2)

1

$$S_B = S_C$$

$$\Rightarrow v_B = v_C . -$$



32)

$$v_B = v_C \\ R_B = R_C$$

(2)

Bernoulli : sans machine  $\Rightarrow p_B = p_C = p_{\text{atm.}}$   
sans perte  $= p_0$  -

33)

$$D_{\text{v}} = v_A S_A = v_B S_B$$

$$= v_A \pi R_A^2 = v_B \pi R_B^2$$

(2)

$$R_A = 4 R_B \Rightarrow v_B = 16 v_A$$

$$\Rightarrow v_A = \frac{v_B}{16}$$

2

\* Bilan de puissances  $\Rightarrow v_A < v_B$  -  
 $\frac{P_B - P_A}{\rho} + \frac{v_B^2 - v_A^2}{2} + g(z_B - z_A) = \frac{P_u}{\rho D_{\text{v}}}$

(3)

Cad  $P_B + \frac{1}{2} \rho v_B^2 + \rho g z_B = P_A + \frac{1}{2} \rho v_A^2 + \rho g z_A + \frac{P_u}{D_{\text{v}}} -$

①

Non conservatoire de l'énergie : terme  $\frac{P_m}{D_v}$

$$35) \quad z_B - z_A = 3L \quad D_J = \rho v_B \pi R_B^2 \\ = \rho v_A \pi R_A^2 \\ v_A \approx 0$$

$$v_B = \frac{D_v}{\rho \pi R_B^2}$$

D'après 34) :

$$P_m = P_0 (p_B - p_A) + D_v \left( \frac{1}{2} \rho v_B^2 - \frac{1}{2} \rho v_A^2 \right) \\ + D_v (\rho g z_B - \rho g z_A)$$

② |

1

$$\text{avec } v_A = 0 \quad p_B = p_A = p_0$$

$$z_B - z_A = 3L$$

On obtient :

$$P_m = D_v \frac{1}{2} \rho v_B^2 + D_v \rho g 3L$$

$$= D_v \frac{1}{2} \frac{\rho D_v^2}{(\pi R_B^2)^2} + D_v \rho g 3L$$

$$= D_v \rho \left( \frac{D_v^2}{2(\pi R_B^2)^2} + 3gR \right)$$

$$36) \quad PV = nRT \quad V = \frac{mRT}{P}$$

1

$$\rho = \frac{m}{V} = \frac{mP}{nRT} = \frac{\rho P}{RT}$$

$$= \frac{33 \cdot 10^{-3} \times 10^5}{10 \times 300}$$

$$= 1 \text{ kg} \cdot \text{m}^{-3}$$

② |

1

$$37) \quad P_m = 1 \times 0,1 \times \left( \frac{0,1^2}{2 \times \pi \times 0,1^4} + 3 \times 10 \times 0,1 \right)$$

37) (suite)  
En prenant  $\pi^2 = 10$

$$P_u \approx 0,1 \times \left( \frac{10^{-2}}{2 \times 10 \times 10^{-4}} + 15 \right)$$

$$= 0,1 \times (5 + 15) = \underline{\underline{2 \text{ W}}}$$

② | 1  
| 1

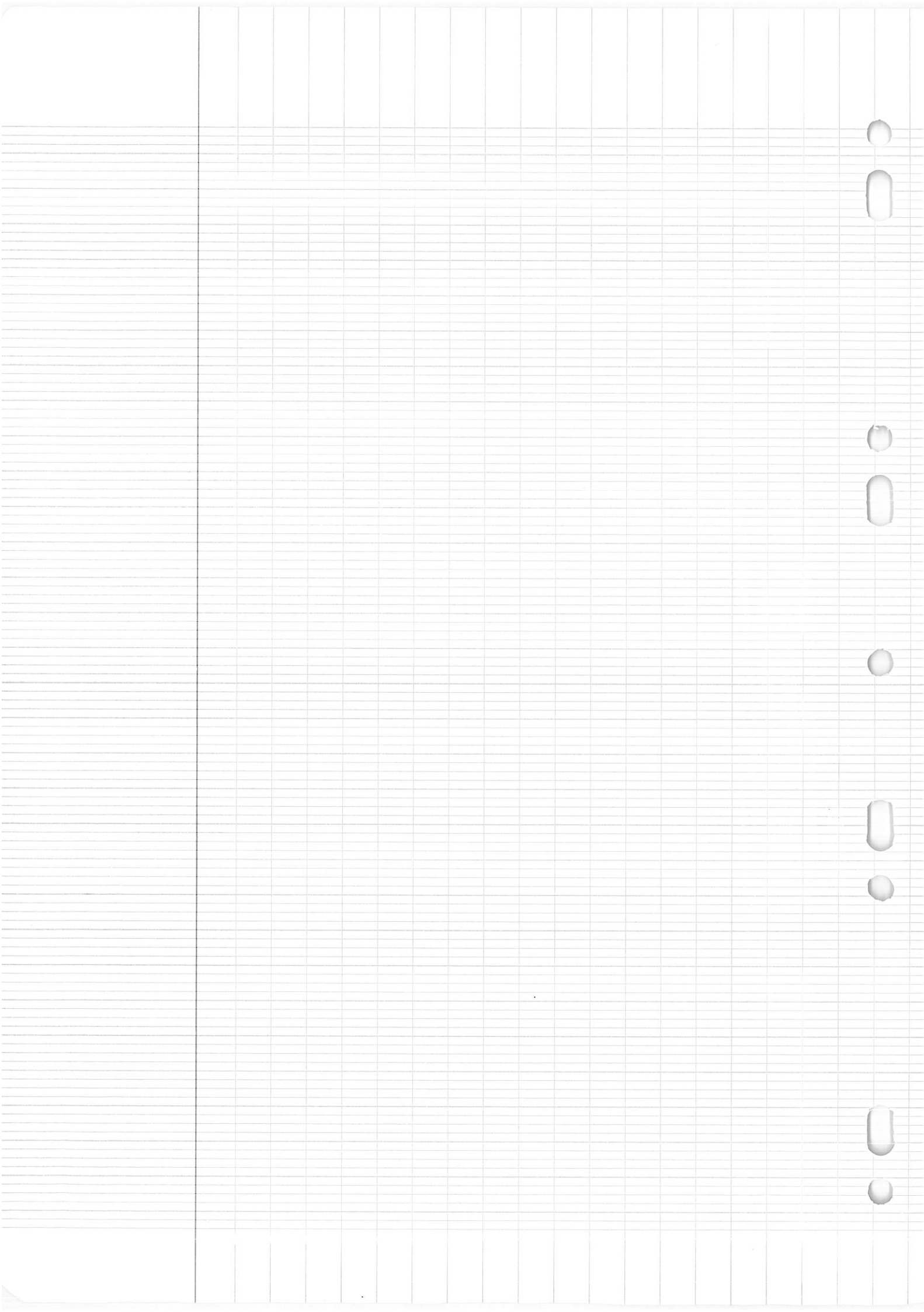
Non réaliste ! Puissance trop faible !

38)  $1000 \text{ J} \cdot \text{kg}^{-1}$

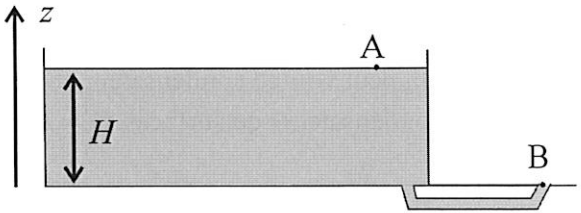
Pf en VV cad  $\text{J} \cdot \text{s}^{-1}$

$$\begin{aligned} Pf &= 1000 \text{ J} \cdot \text{kg}^{-1} \times 1 \text{ kg} \cdot \text{m}^{-3} \times 91 \text{ m}^3 \cdot \text{s}^{-1} \\ &= \underline{\underline{100 \text{ W}}} \end{aligned}$$

Consommation électrique liée à la filtration et non à la masse en mouvement du fluide.



(18)



### III Vidange du bassin

#### III.1 Hypothèse d'un débit constant

- 36 - Je fais l'hypothèse d'un écoulement parfait et incompressible.

La conservation du débit volumique dans l'eau considérée comme un fluide incompressible implique  $Q_v = S v_A = S_t v$  or  $S_t \ll S \Rightarrow v_A \ll v$ . Le niveau d'eau dans le bassin évoluant très lentement, je fais l'hypothèse d'un régime quasi stationnaire.

L'application du théorème de Bernoulli sur la ligne de courant AB donne

$$p_{atm} + \frac{1}{2} \rho v_A^2 + \rho g z_A = p_{atm} + \frac{1}{2} \rho v^2 + \rho g z_B \text{ et } z_A - z_B = H \Rightarrow 2gH = v^2 - v_A^2$$

1  $\Rightarrow v = \sqrt{2gH}$  C'est la formule de Torricelli.

37 -  $Q_v = S_t \sqrt{2gH}$

- 38 - En faisant l'hypothèse d'un débit constant durant toute la vidange, le temps de vidange d'un volume  $V$  d'eau est  $t_v = \frac{V}{Q_v}$  or  $V = HS \Rightarrow t_v = \frac{S}{S_t} \sqrt{\frac{H}{2g}}$

- 39 - Le temps réel sera plus long car

- quand le niveau d'eau baisse, le débit diminue  $Q_v \propto \sqrt{H}$
- La viscosité de l'eau diminue les vitesses donc le débit.

#### III.2 Hypothèse d'un débit variable

- 40 - Dans l'eau, fluide incompressible, la conservation du débit volumique implique  $S v_0(t) = S_t v(t)$

- 41 - Nous avons vu que la formule de Torricelli donne  $v(t) = \sqrt{2gh(t)}$  donc  $v_0(t) = \frac{S_t}{S} \sqrt{2gh(t)}$ .

2 1  $\frac{dh}{dt} = -v_0(t) = -\frac{S_t}{S} \sqrt{2gh(t)}$ . Par identification avec  $\frac{dh}{dt} = -\alpha \sqrt{h(t)}$ , j'obtiens  $\alpha = \frac{S_t}{S} \sqrt{2g}$

- 21 42 - Pour  $h(t) = \left(-\frac{\alpha t}{2} + A\right)^2$ , j'obtiens  $\frac{dh}{dt} = 2\left(-\frac{\alpha t}{2} + A\right)\left(-\frac{\alpha}{2}\right) = -\alpha\left(-\frac{\alpha t}{2} + A\right) = -\alpha\sqrt{h}$ .

2  $h = \left(-\frac{\alpha t}{2} + A\right)^2$  est solution de l'équation différentielle  $\frac{dh}{dt} = -\alpha\sqrt{h}$

Je calcule la Constante d'Intégration avec la Condition Initiale  $h(0) = H$

1  $H = \left(-\frac{\alpha \times 0}{2} + A\right)^2 \Rightarrow A = \sqrt{H}$ . L'expression est donc  $h = \left(-\frac{\alpha t}{2} + \sqrt{H}\right)^2$

- 22 43 - Je note  $t'_v$  le temps de vidange ;  $h(t'_v) = 0 \Rightarrow 0 = \left(-\frac{\alpha t'_v}{2} + \sqrt{H}\right)^2 \Rightarrow t'_v = \frac{2\sqrt{H}}{\alpha}$

23 44 -  $t'_v = \frac{2\sqrt{H}}{\alpha}$  et  $\alpha = \frac{S_t}{S} \sqrt{2g} \Rightarrow t'_v = \frac{2S}{S_t} \sqrt{\frac{H}{2g}} \quad t'_v = 2t_v$

Le temps de vidange réel est le double de celui obtenu avec l'hypothèse du débit volumique constant.

## II.2 Application au capteur de niveau d'eau

- 28 - On peut voir ce condensateur comme l'association en parallèle (même tension) de deux condensateurs de surfaces  $S_1 = L(h-x)$  et  $S_2 = Lx$  et de même épaisseur  $e$  :  $C = C_1 + C_2$

$$C_1 = \frac{S_1 \epsilon_0}{e} \text{ et } C_2 = \frac{S_2 \epsilon_0 \epsilon_r}{e} \Rightarrow C = \frac{L(H-x)\epsilon_0}{e} + \frac{Lx\epsilon_0 \epsilon_r}{e} \Rightarrow$$

$$C = \frac{L(H-x)\epsilon_0}{e} + \frac{Lx\epsilon_0 \epsilon_r}{e} = \frac{L\epsilon_0}{e}(H + (\epsilon_r - 1)x)$$

Par identification avec  $C = ax + b$ ,  $a = \frac{L\epsilon_0(\epsilon_r - 1)}{e}$  et  $b = \frac{LH\epsilon_0}{e}$

- 29 -  $RC \frac{du}{dt} + u = RC \frac{de}{dt}$  s'écrit en notations complexes  $jRC\omega \underline{U}_0 + \underline{U}_0 = jRC\omega A \Rightarrow \underline{U}_0 = \frac{jRC\omega}{1+jRC\omega} A$

30 -  $\underline{U}_0 = |\underline{U}_0|$  donc  $\underline{U}_0 = \frac{RC\omega}{\sqrt{1+(RC\omega)^2}} A$

31 - En BF,  $\omega \ll \frac{1}{RC}$  on a  $\underline{U}_0 \underset{\text{BF}}{\sim} RC\omega A$

32 - En BF,  $\underline{U}_0 \underset{\text{BF}}{\sim} R\omega A \frac{L\epsilon_0}{e}(H + (\epsilon_r - 1)x)$ .

En réglant le montage (soit la fréquence, soit la résistance) pour être en BF, alors [la tension mesurée aux bornes de la résistance est fonction affine de la hauteur d'eau].

$$\underline{U}_0 \underset{\text{BF}}{\sim} U_{\text{vide}} + (U_{\text{plein}} - U_{\text{vide}}) \frac{x}{H} \quad U_{\text{vide}} = R\omega A \frac{LH\epsilon_0}{e} \quad U_{\text{plein}} = R\omega A \frac{LH\epsilon_0 \epsilon_r}{e} = \epsilon_r U_{\text{vide}}$$

## II.3 Traitement des données

```
33 - n = len(h)
      somme = 0
      for i in range(n):
          somme=somme+h[i]      # instruction 1
          moyenne=somme/len(h)    # instruction 2
          print(moyenne)          # affiche la moyenne
```

```
34 - n = len(h)
      somme = 0
      for i in range(n):
          somme=somme+(h[i]-moyenne)**2
          variance=somme/n
          print(variance)        # affiche la variance
```

35 -  $u(h) = \frac{\sqrt{V}}{\sqrt{n}}$